

# Comparação de Paralelismo com *DO CONCURRENT*, *OpenMP* e *MPI* em Algoritmos do *NAS Parallel Benchmark*<sup>\*</sup>

Anna V. G. Marciano,<sup>†</sup> Artur dos Santos Antunes, Claudio Schepke

<sup>1</sup>Laboratório de Estudos Avançados em Computação (LEA)  
Universidade Federal do Pampa (UNIPAMPA) – Alegrete – RS – Brazil

{annamarciano, arturantures}.aluno@unipampa.edu.br  
claudioschepke@unipampa.edu.br

**Abstract.** This paper compares native Fortran parallelism, via *DO CONCURRENT*, with *OpenMP* and *MPI* in three algorithms from the *NAS Parallel Benchmark* (*Conjugate Gradient*, *Multi-Grid*, and *Fast Fourier Transform*). The results show that *DO CONCURRENT* achieves competitive performance in scenarios with regular memory access, such as *CG* and *MG*, but is less efficient in *FFT*, which requires intensive global synchronization. The main contribution is to demonstrate the practical feasibility of *DO CONCURRENT* on the CPU, offering more readable and maintainable code without losing significant efficiency.

**Resumo.** Este trabalho compara o paralelismo nativo do Fortran, via *DO CONCURRENT*, com *OpenMP* e *MPI* em três algoritmos do *NAS Parallel Benchmark* (*Conjugate Gradient*, *Multi-Grid* e *Fast Fourier Transform*). Os resultados mostram que *DO CONCURRENT* alcança desempenho competitivo em cenários com acesso regular à memória, como *CG* e *MG*, mas é menos eficiente em *FFT*, que exige comunicação global intensiva. A contribuição principal é evidenciar a viabilidade prática do *DO CONCURRENT* em CPU, oferecendo código mais legível e de fácil manutenção sem perder eficiência significativa.

## 1. Introdução

O paralelismo é fundamental para acelerar simulações e resolver problemas complexos em tempo razoável. Interfaces de Programação Paralela (*APIs*), sejam extensões de linguagens, bibliotecas ou *frameworks*, possibilitam a criação e o gerenciamento de *threads* [Chapman et al. 1998]. Em ambientes distribuídos, alternativas, como *Message Passing Interface (MPI)*, permitem comunicação entre processos com memória separada [Löff et al. 2021].

Desde *Fortran 2008*, o construtor *DO CONCURRENT* introduziu uma forma padronizada de expressar paralelismo em *loops*, delegando ao compilador a responsabilidade de realizar a paralelização e otimizações, como vetorização e execução concorrente [Reid 2018]. Diferentemente de abordagens como *Open Multi-Processing (OpenMP)*, que dependem de diretivas para geração explícita de *threads* [Ayguade et al. 2009], *DO CONCURRENT* permite escrever código limpo e portável, facilitando a manutenção e ainda permitindo que o compilador permaneça responsável pelo paralelismo.

---

<sup>\*</sup>Trabalho parcialmente financiado pelo Edital CNPq: Projeto 135963/2023-0.

<sup>†</sup>Bolsista PIBIC/CNPq 2024/2025.

Apesar dos benefícios teóricos do DO CONCURRENT, sua adoção na comunidade científica permanece limitada devido a incertezas sobre seu desempenho real em aplicações complexas e, também, sobre o suporte heterogêneo entre compiladores [Tremarin et al. 2024]. A falta de evidências empíricas sobre a competitividade do paralelismo automático comparado às abordagens explícitas tradicionais representa um obstáculo significativo para sua adoção mais ampla. Este trabalho aborda essas incertezas ao demonstrar que, embora existam limitações específicas, o DO CONCURRENT pode atingir desempenho competitivo em *benchmarks* de alta complexidade, especialmente quando considerada a melhoria na legibilidade e manutenibilidade do código.

Este artigo investiga o impacto do paralelismo da cláusula DO CONCURRENT contra o paralelismo tradicional em três algoritmos do *NAS Parallel Benchmarks* (*Conjugate Gradient*, *Multi-Grid* e *Fast-Fourier Transform*). O trabalho fornece dados empíricos para orientar decisões de implementação em projetos de computação científica e também busca reduzir a lacuna pendente, avaliando o desempenho do DO CONCURRENT comparando-o com *OpenMP* e *MPI*.

## 2. Trabalhos Relacionados

Desde a sua introdução no *Fortran 2008*, DO CONCURRENT vem sendo avaliado como alternativa aos modelos tradicionais de paralelismo baseado em diretivas. Estudos recentes indicam que seu desempenho pode se aproximar ou até superar implementações com *OpenMP*, especialmente em arquiteturas com bom suporte à vetorização [Hammond et al. 2022, Stulajter and Smith 2022]

No artigo de Gabriel Tremarin, foi investigado o uso do DO CONCURRENT no algoritmo *Conjugate Gradient* do *NPB* em uma aplicação de meio poroso, mostrando que o desempenho é competitivo quando o padrão de acesso à memória é regular [Tremarin et al. 2024]. Outros trabalhos recentes reforçam essa linha de pesquisa:

- Foi analisado a possibilidade de substituir diretivas *OpenMP* por DO CONCURRENT em computação acelerada no artigo de Stulajter, identificando vantagens de portabilidade [Stulajter et al. 2021];
- no artigo de Hammond foi realizado o *benchmarking* em CPUs e GPUs com *BabelStream*, mostrando que o ganho de desempenho depende fortemente do compilador [Hammond et al. 2022];
- Maqbool e Lee compararam DO CONCURRENT e *OpenMP* em simulações de manufatura aditiva, demonstrando que é possível atingir desempenho equivalente utilizando apenas paralelismo padrão da linguagem, sem dependência de APIs externas [Maqbool and Lee 2025];

No campo das bibliotecas e modelos de paralelismo, destacam-se os trabalhos fundadores do *OpenMP* [Dagum and Menon 1998], *MPI* [Gropp et al. 1996] e *OpenACC* [Chandrasekaran and Juckeland 2017], que permanecem como referências essenciais.

O presente trabalho expande os estudos anteriores ao incluir não apenas o *Conjugate Gradient*, mas também *Multi-Grid* e *Fast-Fourier Transform*, permitindo avaliar o comportamento do DO CONCURRENT sob diferentes padrões de comunicação (ponto a ponto, local/global e global) e de uso de memórias.

**Tabela 1. Resumo dos *benchmarks NPB* utilizados**

| <b>Benchmark</b>              | <b>Tipo de acesso</b> | <b>Comunicação</b> | <b>Uso de memória</b> |
|-------------------------------|-----------------------|--------------------|-----------------------|
| <i>Conjugate Gradient</i>     | Irregular             | Ponto-a-ponto      | Moderado              |
| <i>Multi-Grid</i>             | Regular               | Local/Global       | Intensivo             |
| <i>Fast-Fourier Transform</i> | Regular               | Global             | Moderado              |

### 3. *NAS Parallel Benchmark*

*NAS Parallel Benchmarks (NPB)* é uma coleção de algoritmos destinados a medir o desempenho de supercomputadores paralelos, originados de aplicações de Dinâmica de Fluidos Computacional (DFC). Neste trabalho, avaliamos três algoritmos principais da versão *NPB* 3.4.3:

- ***Conjugate Gradient (CG)***: Avalia acesso irregular à memória e comunicação ponto-a-ponto.
- ***Multi-Grid (MG)***: Avalia comunicação de curta e longa distância e uso intensivo de memória.
- ***Fast-Fourier Transform (FFT)***: Avalia comunicação global entre processos.

A escolha desses algoritmos permite capturar diferentes dimensões do desempenho paralelo: *CG* evidencia acesso irregular à memória, *MG* combina comunicação local e remota, e *FFT* representa operações globais de sincronização e redistribuição de dados. Dessa forma, obtém-se uma visão abrangente da eficiência de paralelismo, uso de memória e comunicação em arquiteturas *HPC* [Löff et al. 2021]. Com base na documentação oficial do *NPB* disponibilizada pela *NASA*, foi elaborada a Tabela 1 pelo autor, que compara os três *benchmarks* quanto ao tipo de acesso, comunicação e uso de memória.

### 4. Metodologia

Os testes tiveram como objetivo avaliar o **tempo de execução** e a **compatibilidade numérica** das implementações dos *benchmarks* selecionados. O código foi compilado utilizando o compilador *nvfortran* (*HPC SDK 25.5, Nvidia*), empregando a flag *-O3* para otimização sequencial e *-fopenmp* para paralelismo *OpenMP*, garantindo otimizações agressivas de instruções, vetorização e uso eficiente de memória.

#### 4.1. Uso da classe C

Cada *benchmark* foi executado utilizando a Classe C do *NPB*. Esta escolha se justifica por representar problemas suficientemente grandes para evidenciar diferenças significativas de desempenho entre os modelos de paralelismo (*OpenMP, DO CONCURRENT* e *MPI*), sem sobrecarregar os recursos computacionais da estação de trabalho utilizada. A Tabela 2, elaborada pelos autores com base na documentação oficial do *NPB* disponibilizada pela *NASA*, apresenta a classificação das classes do *NPB*. Classes menores (S, W, A, B) não seriam adequadas para demonstrar as diferenças de *overhead* entre as abordagens, enquanto classes maiores (D, E, F) ultrapassariam os limites de memória e capacidade de processamento disponíveis. Assim, a Classe C oferece um equilíbrio ideal entre complexidade computacional e viabilidade experimental, permitindo análises estatisticamente confiáveis em um ambiente controlado.

**Tabela 2. Classes do NPB**

| Classe   | Tamanho       | Abordagem         | Velocidade           |
|----------|---------------|-------------------|----------------------|
| S        | Muito pequeno | Teste rápido      | Muito rápida         |
| W        | Pequeno       | Teste rápido      | Rápida               |
| A        | Médio         | Realista          | Média                |
| B        | Médio         | Realista          | Média                |
| <b>C</b> | <b>Grande</b> | <b>Realista</b>   | <b>Média/Lenta ✓</b> |
| D        | Muito grande  | Supercomputadores | Lenta                |
| E        | Imensa        | Supercomputadores | Muito lenta          |
| F        | Extrema       | Supercomputadores | Extremamente Lenta   |

## 4.2. Ambiente de Execução

O ambiente de execução consistiu em um *Windows Subsystem for Linux* (WSL) sobre *Windows 11*, com processador *AMD Ryzen 5 3400G* de 4 núcleos físicos e 8 *threads* e **16 GB de memória RAM**. Para o paralelismo em memória compartilhada, foram escolhidas **4 threads**, correspondendo ao número de núcleos físicos do processador. Essa decisão visa evitar que múltiplas *threads* virtuais (*hyper-threading*) compartilhem os mesmos recursos de núcleo, minimizando a contenção de cache L1/L2, e proporciona uma avaliação mais estável e representativa do desempenho do DO CONCURRENT em comparação com implementações *OpenMP*, que neste trabalho foi utilizada na versão suportada pelo *gfortran 13.3.0* (compatível com *OpenMP 5.1*).

O paralelismo distribuído foi realizado utilizando *MPI* (*Open MPI 4.1.7rc1*), permitindo a execução de processos independentes com comunicação explícita entre eles. A repetição de execuções permite reduzir a variabilidade causada por flutuações do sistema operacional, escalonamento de *threads* e utilização de cache, garantindo a confiabilidade das medições. Para este trabalho, cada *benchmark* foi executado **18 vezes**, permitindo o cálculo de médias e análise estatística robusta dos resultados.

Scripts em *shell* automatizaram o processo de compilação e execução, garantindo consistência entre os testes e evitando erros. Cada execução gerou arquivos de saída com tempos de execução e métricas de desempenho que, em seguida, foram consolidadas por scripts *Python* em arquivos *.json* para análise estatística, geração de gráficos e comparação entre as estratégias de paralelismo adotadas.

## 5. Implementação

Os *loops* paralelizados com *OpenMP* foram convertidos para DO CONCURRENT, usando o especificador local, conforme pode ser visto nos Códigos 1 e 2. *Loops* com chamadas de função permaneceram sem alteração, devido a limitações da construção.

### Código 1. Exemplo de uso de private com OpenMP

```
1 !$omp parallel do private(i, j, k) collapse(2)
2 do k = 1, d3
3   do j = 1, d2
4     do i = 1, d1
5       u0(i, j, k) =0.d0
6     end do
7   end do
8 end do
```

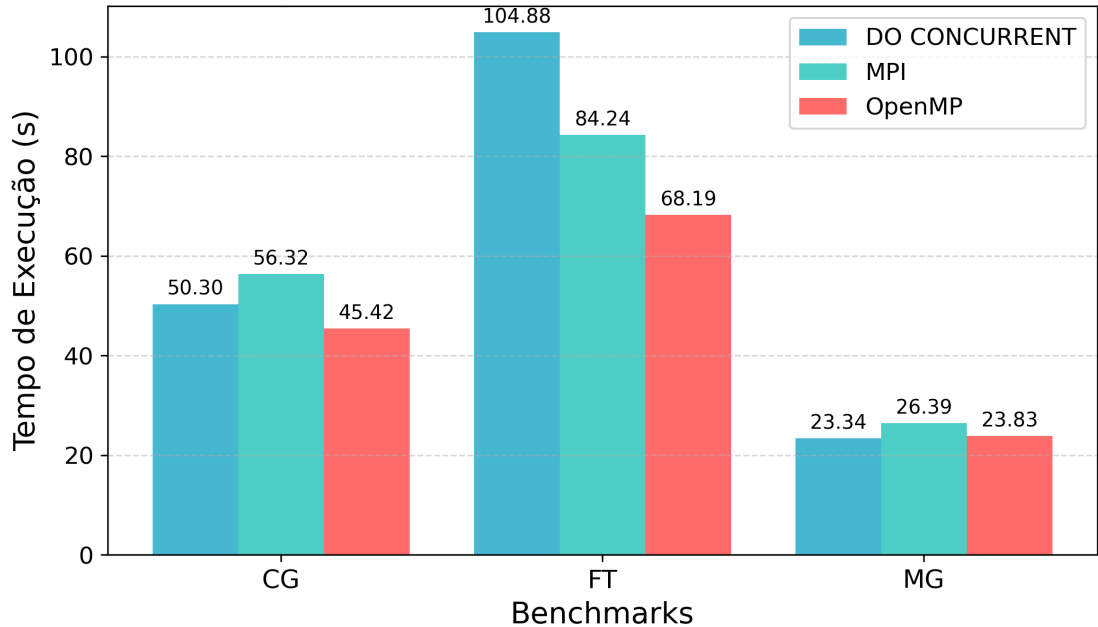
### Código 2. Exemplo com DO CONCURRENT

```
1 do concurrent (k = 1:d3) local(i, j)
2   do j = 1, d2
3     do i = 1, d1
4       u0(i, j, k) =0.d0
5     end do
6   end do
7 end do
```

Já no contexto do *MPI*, a implementação do paralelismo envolve a decomposição do problema em múltiplos processos independentes, cada qual com seu próprio espaço de memória. A comunicação entre esses processos ocorre de forma explícita por meio de chamadas de envio e recebimento de mensagens, permitindo a execução de programas em ambientes distribuídos. Essa abordagem confere ao *MPI* elevada escalabilidade, sendo especialmente adequada para supercomputadores e *clusters*; entretanto, também aumenta a complexidade da implementação, uma vez que o programador deve gerenciar explicitamente a troca de dados e a sincronização entre processos.

## 6. Resultados

A Figura 1 apresenta a média dos tempos de execução obtidos para os três *benchmarks* avaliados.



**Figura 1. Comparativo de performance dos *benchmarks*.**

### 6.1. Conjugate Gradient

O *benchmark* *Conjugate Gradient* apresenta tempos de execução distintos dependendo do modelo de paralelismo empregado. O uso de *OpenMP* (45,42s) mostrou-se mais eficiente, seguido de *DO CONCURRENT* (50,3s) e *MPI* (56,32s). A diferença observada evidencia que, para este algoritmo, o paralelismo baseado em *threads* compartilhadas (*OpenMP*) beneficia-se melhor do acesso à memória e da sobrecarga reduzida na comunicação entre *threads*, enquanto o *MPI*, que depende da comunicação entre processos distribuídos, apresenta maior latência, impactando negativamente o tempo total de execução.

### 6.2. Multi-Grid

No *benchmark* *Multi-Grid*, os tempos de execução entre as diferentes formas de paralelismo foram mais próximos. Observa-se que *DO CONCURRENT* atingiu 23,34s, *OMP* 23,83s e *MPI* 26,39s. A pequena variação entre *DO CONCURRENT* e *OMP* sugere que este algoritmo se beneficia de paralelismo em memória compartilhada e da facilidade de expressão do paralelismo pelo compilador, enquanto *MPI* ainda apresenta *overhead* ligeiramente maior devido à comunicação entre processos.

### 6.3. Fast-Fourier Transform

O *benchmark* *Fast Fourier Transform* apresentou comportamento distinto em relação aos demais. *OMP* apresentou o menor tempo de execução (68,19s), seguido de **MPI** (84,24s) e *DO CONCURRENT* (104,88s). O desempenho superior de *OpenMP* neste caso indica que *FFT* possui muitas operações paralelizáveis em *loops* aninhados e acesso eficiente à memória local, favorecendo modelos de paralelismo de *threads*. O desempenho relativamente inferior do *DO CONCURRENT* sugere que, embora o paralelismo automático

de *loops* seja eficaz, ele não consegue extrair toda a performance possível frente a um controle mais explícito, como o proporcionado por *OpenMP*.

#### 6.4. Análise Completa

A análise consolidada de todos os *benchmarks* evidencia tendências gerais no comportamento dos diferentes modelos de paralelismo. *OpenMP* apresentou o melhor desempenho médio nos três *benchmarks*, seguido de DO CONCURRENT e *MPI*, embora com variações específicas dependendo da natureza do algoritmo. Algoritmos com forte dependência de acesso à memória compartilhada, como *CG* e *FFT*, se beneficiam mais de paralelismo em *threads*. Por outro lado, algoritmos como *MG*, que possuem etapas mais balanceadas e comunicação entre subproblemas, apresentam tempos mais homogêneos entre os modelos, com *MPI* mostrando leve desvantagem devido à sobrecarga de comunicação entre processos.

A comparação consolidada confirma que a escolha do modelo de paralelismo deve considerar tanto a arquitetura da máquina quanto o padrão de acesso à memória e comunicação do algoritmo. *OpenMP* é geralmente mais indicado para sistemas com memória compartilhada e grande quantidade de *loops* paralelizáveis, enquanto *MPI* é mais adequado para ambientes distribuídos com baixo grau de comunicação entre processos.

### 7. Considerações Finais

Este estudo demonstrou que o DO CONCURRENT é uma ferramenta viável e competitiva para paralelização em CPU, especialmente quando considerados os benefícios de código mais legível e facilmente manutenível. Os resultados confirmam que, embora existam limitações específicas em cenários como *loops* com chamadas de funções ou algoritmos que exigem comunicação global complexa, DO CONCURRENT se aproxima significativamente do desempenho de soluções explícitas como *OpenMP* em *benchmarks* representativos como *CG* e *MG*.

A contribuição principal deste trabalho é fornecer evidências que podem orientar decisões de implementação na comunidade científica. Para a maioria dos casos de paralelização de *loops* simples a complexos, DO CONCURRENT oferece uma alternativa atrativa que combina facilidade de implementação com eficiência competitiva.

As limitações identificadas, particularmente no *benchmark FFT*, não diminuem o valor do DO CONCURRENT, mas sim definem com clareza os seus domínios de aplicação. Para desenvolvedores que priorizam legibilidade, manutenibilidade e portabilidade do código, DO CONCURRENT representa uma opção válida na maioria dos cenários práticos.

Como trabalhos futuros, pretendemos:

- Paralelizar todos os *benchmarks* do *NPB* restantes, como *Scalar Penta-diagonal solver (SP)* e *Lower-Upper Gauss-Seidel solver (LU)*, por exemplo, de forma com que utilizemos diferentes formas de paralelismo;
- Explorar Classes D e E do *NPB* para avaliar como a escalabilidade do DO CONCURRENT se comporta em problemas de dimensões maiores;
- Avaliar *benchmarks* adicionais para validar a generalização dos resultados;
- Investigar otimizações de compilador e *flags* de otimização para verificar o quanto afeta o desempenho do DO CONCURRENT;

- Estudar a possibilidade de implementações híbridas para otimização em diferentes escalas de paralelização, possivelmente combinando *OpenMPI* com DO CONCURRENT, visto que a implementação de ambos é semelhante.

## Referências

- Ayguade, E., Copty, N., Duran, A., Hoeflinger, J., Lin, Y., Massaioli, F., Teruel, X., Unnikrishnan, P., and Zhang, G. (2009). The Design of OpenMP Tasks. *IEEE Transactions on Parallel and Distributed Systems*, 20(3):404–418.
- Chandrasekaran, S. and Juckeland, G. (2017). *OpenACC for Programmers: Concepts and Strategies*. Addison-Wesley Professional, 1st edition.
- Chapman, B., Mehrotra, P., and Zima, H. (1998). Enhancing OpenMP with features for locality control. In *Proc. ECWMF Workshop: Towards Teracomputing-The Use of Parallel Processors in Meteorology*, Austria. PSU.
- Dagum, L. and Menon, R. (1998). OpenMP: An Industry-Standard API for Shared-Memory Programming. *IEEE Computational Science & Engineering*, 5(1):46–55.
- Gropp, W., Lusk, E., and Skjellum, A. (1996). *Using MPI: Portable Parallel Programming with the Message Passing Interface*. MIT Press, 1st edition.
- Hammond, J. R., Deakin, T., Cownie, J., and McIntosh-Smith, S. (2022). Benchmarking Fortran DO CONCURRENT on CPUs and GPUs Using BabelStream. In *2022 IEEE/ACM International Workshop on Performance Modeling, Benchmarking and Simulation of High Performance Computer Systems (PMBS)*, pages 82–99.
- Löff, J., Griebler, D., Mencagli, G., Araujo, G., Torquati, M., Danelutto, M., and Fernandes, L. G. (2021). The NAS Parallel Benchmarks for evaluating C++ parallel programming frameworks on shared-memory architectures. *Future Generation Computer Systems*, 125:743–757.
- Maqbool, S. and Lee, B.-J. (2025). High performance additive manufacturing phase field simulation: Fortran do concurrent vs openmp. *Computational Materials Science*, 252:113788.
- Reid, J. (2018). The New Features of Fortran 2018. *SIGPLAN Fortran Forum*, 37(1):5–43.
- Stulajter, J. and Smith, A. (2022). Advances in Parallel Programming Techniques for Modern HPC Systems. *Journal of Parallel and Distributed Computing*, 160:1–15.
- Stulajter, M. M., Caplan, R. M., and Linker, J. A. (2021). Can Fortran’s ‘do concurrent’ replace directives for accelerated computing?
- Tremarin, G., Marciano, A., Schepke, C., and Vogel, A. (2024). Fortran DO CONCURRENT Evaluation in Multi-core for NAS-PB Conjugate Gradient and a Porous Media Application. In *Anais do XXV Simpósio em Sistemas Computacionais de Alto Desempenho*, pages 133–143, Porto Alegre, RS, Brasil. SBC.